

А. Я. Григоренко, С. А. Мальцев

## Решение задач о свободных колебаниях конических оболочек переменной толщины

(Представлено членом-корреспондентом НАН Украины Л. П. Хорошунюм)

*Наводиться чисельно-аналітичний підхід для дослідження вільних коливань тонких конічних ізотропних оболонок змінної товщини, який базується на сплайн-апроксимації невідомих функцій. Розрахунки виконані для різних типів граничних умов. Досліджено вплив змінної товщини на характер поведінки динамічних характеристик.*

Конические оболочки переменной толщины находят широкое применение во многих отраслях современной техники. Одним из важных аспектов обеспечения прочности отмеченных упругих тел является получение информации об их свободных колебаниях.

В данной работе предлагается эффективная численная методика исследования свободных колебаний конических оболочек переменной в окружном направлении толщины. В основу методики положено применение сплайн-апроксимации и метода коллокации, с помощью которых исходная краевая задача на собственные значения для систем дифференциальных уравнений в частных производных сводится к соответствующей задаче для систем обыкновенных дифференциальных уравнений. Последняя решается устойчивым численным методом дискретной ортогонализации в сочетании с методом пошагового поиска [1, 2]. Такой подход для решения ряда динамических задач был применен в [3–6]. Предлагаемая методика позволяет провести исследование свободных колебаний конических оболочек с произвольным законом изменения толщины при сложных граничных условиях.

**Исходные соотношения.** Будем рассматривать задачу о свободных колебаниях конической оболочки переменной толщины  $h(s, \theta)$  в криволинейной ортогональной системе координат  $(s, \theta)$ , где  $s$  — длина дуги меридиана;  $\theta$  — центральный угол в параллельном круге.

Согласно теории тонких оболочек Кирхгофа–Лява, уравнения, описывающие свободные колебания конических оболочек, будут иметь вид [3]:

$$\begin{aligned}
 \frac{\partial}{\partial s}(rN_s) + \frac{\partial S}{\partial \theta} - \cos \varphi N_\theta &= r\rho h \frac{\partial^2 u(s, \theta, \omega)}{\partial t^2}; \\
 \frac{\partial N_\theta}{\partial \theta} + \frac{\partial}{\partial s}(rS) + \cos \varphi S + \sin \varphi \left( Q_\theta + \frac{\partial H}{\partial s} \right) &= r\rho h \frac{\partial^2 v(s, \theta, \omega)}{\partial t^2}; \\
 \frac{\partial}{\partial s}(rQ_s) + \frac{\partial Q_\theta}{\partial \theta} - \sin \varphi N_\theta &= r\rho h \frac{\partial^2 w(s, \theta, \omega)}{\partial t^2}; \\
 \frac{\partial}{\partial s}(rM_s) + \frac{\partial H}{\partial \theta} - \cos \varphi M_\theta - rQ_s &= 0; \\
 \frac{\partial}{\partial s}(rH) + \frac{\partial M_\theta}{\partial \theta} + \cos \varphi H - rQ_\theta &= 0,
 \end{aligned} \tag{1}$$

где  $\varphi$  — угол, образованный нормалью к координатной поверхности и осью вращения;  $r$  — радиус параллельного круга;  $t$  — время;  $u, v, w$  — перемещения точек срединной поверхности;  $\rho$  — плотность материала;  $\omega$  — частота свободных колебаний оболочки.

Представим связь между деформациями и перемещениями:

$$\begin{aligned} \varepsilon_s &= \frac{\partial u}{\partial s}; & \varepsilon_\theta &= \frac{1}{r} \frac{\partial v}{\partial \theta} + \frac{\cos \varphi}{r} u + \frac{\sin \varphi}{r} w; & \varepsilon_{s\theta} &= \frac{1}{r} \frac{\partial u}{\partial \theta} + \frac{\partial v}{\partial s} - \frac{\cos \varphi}{r} v; \\ \chi_s &= -\frac{\partial^2 w}{\partial s^2}; & \chi_\theta &= -\frac{1}{r^2} \frac{\partial^2 w}{\partial \theta^2} - \frac{\cos \varphi}{r} \frac{\partial w}{\partial s}; & \chi_{s\theta} &= \frac{\cos \varphi}{r^2} \frac{\partial w}{\partial \theta} - \frac{1}{r} \frac{\partial^2 w}{\partial s \partial \theta}. \end{aligned} \quad (2)$$

Для нормальных и сдвигающих усилий  $N_s, N_\theta$  и  $S$ , сгибающих и крутильных моментов  $M_s, M_\theta$  и  $H$  при условии изотропного материала справедливы такие соотношения:

$$\begin{aligned} N_s &= D_N(\varepsilon_s + \nu \varepsilon_\theta); & N_\theta &= D_N(\nu \varepsilon_s + \varepsilon_\theta); & S &= \frac{1-\nu}{2} D_N \varepsilon_{s\theta}; \\ M_s &= D_M(\chi_s + \nu \chi_\theta); & M_\theta &= D_M(\nu \chi_s + \chi_\theta); & H &= D_M(1-\nu) \chi_{s\theta}. \end{aligned} \quad (3)$$

Жесткостные коэффициенты оболочки задаются формулами

$$D_N = \frac{Eh}{1-\nu}; \quad D_M = \frac{Eh^3}{12(1-\nu)}.$$

Здесь  $E, \nu$  — соответственно модуль упругости и коэффициент Пуассона.

Из системы уравнений (1)–(3) получим три эквивалентных дифференциальных уравнения относительно трех перемещений  $u, v$  и  $w$  точек срединной поверхности оболочки [3, 4]:

$$\begin{aligned} \frac{\partial^2 u}{\partial \theta^2} &= F_u \left( u, \frac{\partial u}{\partial s}, \frac{\partial^2 u}{\partial s^2}, \frac{\partial u}{\partial \theta}, v, \frac{\partial v}{\partial s}, \frac{\partial v}{\partial \theta}, \frac{\partial^2 v}{\partial s \partial \theta}, w, \frac{\partial w}{\partial s}, \omega \right); \\ \frac{\partial^2 v}{\partial \theta^2} &= F_v \left( u, \frac{\partial u}{\partial s}, \frac{\partial u}{\partial \theta}, \frac{\partial^2 u}{\partial s \partial \theta}, v, \frac{\partial v}{\partial s}, \frac{\partial v}{\partial \theta}, \frac{\partial^2 v}{\partial s^2}, w, \frac{\partial w}{\partial s}, \frac{\partial w}{\partial \theta}, \frac{\partial^2 w}{\partial s^2}, \frac{\partial^2 w}{\partial \theta^2}, \frac{\partial^2 w}{\partial s \partial \theta}, \right. \\ &\quad \left. \frac{\partial^3 w}{\partial s^2 \partial \theta}, \frac{\partial^3 w}{\partial \theta^3}, \omega \right); \\ \frac{\partial^4 w}{\partial \theta^4} &= F_w \left( u, \frac{\partial u}{\partial s}, \frac{\partial v}{\partial \theta}, w, \frac{\partial w}{\partial s}, \frac{\partial w}{\partial \theta}, \frac{\partial^2 w}{\partial s^2}, \frac{\partial^2 w}{\partial \theta^2}, \frac{\partial^2 w}{\partial s \partial \theta}, \frac{\partial^3 w}{\partial s^3}, \frac{\partial^3 w}{\partial \theta^3}, \frac{\partial^3 w}{\partial s \partial \theta^2}, \right. \\ &\quad \left. \frac{\partial^3 w}{\partial s^2 \partial \theta}, \frac{\partial^4 w}{\partial s^4}, \frac{\partial^4 w}{\partial s^2 \partial \theta^2}, \omega \right), \end{aligned} \quad (4)$$

где  $F_u, F_v, F_w$  — линейные дифференциальные операторы.

На контурах  $s = s_0, s_a$  и  $\theta = 0, b$  задаются следующие граничные условия, которые определяются через перемещения:

1) жесткое закрепление всех контуров

$$\begin{aligned} u = v = w = \frac{\partial w}{\partial \theta} & \quad \text{при} \quad \theta = 0, b; \\ u = v = w = \frac{\partial w}{\partial s} & \quad \text{при} \quad s = s_0, s_a; \end{aligned} \quad (5)$$

2) жесткое закрепление трех контуров и шарнирное опирание одного

$$\begin{aligned}
 u = v = w &= \frac{\partial w}{\partial \theta} && \text{при} && \theta = 0; \\
 u = \frac{\partial v}{\partial \theta} = w &= \frac{\partial^2 w}{\partial \theta^2} && \text{при} && \theta = b; \\
 u = v = w &= \frac{\partial w}{\partial s} && \text{при} && s = s_0, s_a.
 \end{aligned} \tag{6}$$

**Методика решения.** Решение системы уравнений (4) будем искать в виде

$$u = \sum_{i=0}^N u_i(\theta)\varphi_i(s), \quad v = \sum_{i=0}^N v_i(\theta)\chi_i(s), \quad w = \sum_{i=0}^N w_i(\theta)\psi_i(s), \tag{7}$$

где  $u_i(\theta)$ ,  $v_i(\theta)$ ,  $w_i(\theta)$  ( $i = 0, \dots, N$ ) — искомые функции;  $\varphi_i(s)$ ,  $\chi_i(s)$  — функции, построенные с помощью  $B$ -сплайнов третьей степени ( $N \geq 4$ ),  $\psi_i(s)$  — функции, построенные с помощью  $B$ -сплайнов пятой степени ( $N \geq 6$ ). Выбор функций  $\varphi_i(s)$ ,  $\chi_i(s)$ ,  $\psi_i(s)$  обусловлен требованиями удовлетворить граничные условия при  $s = \text{const}$  с помощью линейных комбинаций  $B$ -сплайнов 3-й и 5-й степени соответственно [1].

Подставив (7) в уравнения (4), будем требовать, чтобы они удовлетворялись в заданных точках коллокации  $\xi_k \in [s_a, s_b]$ ,  $k = 0, \dots, N$ . В случае четного числа узлов сетки ( $N = 2n + 1$ ,  $n \geq 3$ ) и при условии, что узлы коллокации удовлетворяют требованиям  $\xi_{2i} \in [s_{2i}, s_{2i+1}]$ ,  $\xi_{2i+1} \in [s_{2i}, s_{2i+1}]$ , ( $i = 0, \dots, N$ ), на отрезке  $[s_{2i}, s_{2i+1}]$  имеем два узла коллокации, а на соседних отрезках  $[s_{2i+1}, s_{2i+2}]$  узлы коллокации отсутствуют. На каждом из отрезков  $s_{2i}$ ,  $s_{2i+1}$  точки коллокации выбираются следующим образом:

$$\xi_{2i} = s_{2i} + z_1 h, \quad \xi_{2i+1} = s_{2i} + z_2 h \quad (i = 0, \dots, N),$$

где  $h$  — шаг сетки;  $z_1, z_2$  — корни полинома Лежандра второго порядка на отрезке  $[0, 1]$ , которые равняются:  $z_1 = 1/2 - \sqrt{3}/6$  и  $z_2 = 1/2 + \sqrt{3}/6$ . Такой выбор точек коллокации является оптимальным и существенно повышает порядок точности аппроксимации. После всех преобразований получим систему  $8(N + 1)$  линейных дифференциальных уравнений относительно  $u_i$ ,  $v_i$ ,  $w_i$ . Если ввести обозначения

$$\begin{aligned}
 \Phi_l &= [\varphi_i^{(l)}(\xi_k)], & X_l &= [\chi_i^{(l)}(\xi_k)], & \Psi_l &= [\psi_i^{(l)}(\xi_k)], \\
 i, k &= 0, \dots, N, & l &= 0, \dots, 2, & m &= 0, \dots, 4; \\
 \bar{u}^T &= \{u_0, \dots, u_N\}, & \bar{v}^T &= \{v_0, \dots, v_N\}, & \bar{w}^T &= \{w_0, \dots, w_N\}; \\
 \bar{a}_{1r}^T &= \{a_{1r}(\theta, \xi_0), \dots, a_{1r}(\theta, \xi_N)\}, & r &= 1, \dots, 10; \\
 \bar{a}_{2r}^T &= \{a_{2r}(\theta, \xi_0), \dots, a_{2r}(\theta, \xi_N)\}, & r &= 1, \dots, 16; \\
 \bar{a}_{3r}^T &= \{a_{3r}(\theta, \xi_0), \dots, a_{3r}(\theta, \xi_N)\}, & r &= 1 \dots 15; \\
 \bar{a}_{111}^T &= \{a_{111}(\theta, \xi_0, \omega), \dots, a_{111}(\theta, \xi_N, \omega)\}; & \bar{a}_{217}^T &= \{a_{217}(\theta, \xi_0, \omega), \dots, a_{217}(\theta, \xi_N, \omega)\}; \\
 \bar{a}_{316}^T &= \{a_{316}(\theta, \xi_0, \omega), \dots, a_{316}(\theta, \xi_N, \omega)\};
 \end{aligned}$$

а также для матрицы  $A = [a_{ij}]$  ( $i, j = 0, \dots, N$ ), и вектора  $\bar{c} = \{c_0, \dots, c_N\}$  обозначить через  $\bar{c} \cdot A$  матрицу  $[c_i \cdot a_{ij}]$ , то система дифференциальных уравнений запишется в виде

$$\left\{ \begin{array}{l} \bar{u}'' = \Phi_0^{-1} \{ (\bar{a}_{12} \cdot \Phi_2 + \bar{a}_{13} \cdot \Phi_1 + \bar{a}_{14} \cdot \Phi_0 + \bar{a}_{111} \cdot \Phi_0) \bar{u} + (\bar{a}_{11} \cdot \Phi_0) \bar{u}' + \\ \quad + (\bar{a}_{17} \cdot X_1 + \bar{a}_{18} \cdot X_0) \bar{v} + (\bar{a}_{15} \cdot X_1 + \bar{a}_{16} \cdot X_0) \bar{v}' + (\bar{a}_{19} \cdot \Psi_1 + \bar{a}_{110} \cdot \Psi_0) \bar{w} \}, \\ \bar{v}'' = X_0^{-1} \{ (\bar{a}_{23} \cdot \Phi_1 + \bar{a}_{24} \cdot \Phi_0) \bar{u} + (\bar{a}_{21} \cdot \Phi_1 + \bar{a}_{22} \cdot \Phi_0) \bar{u}' + \\ \quad + (\bar{a}_{26} \cdot X_2 + \bar{a}_{27} \cdot X_1 + \bar{a}_{28} \cdot X_0 + \bar{a}_{217} \cdot X_0) \bar{v} + (\bar{a}_{25} \cdot X_0) \bar{v}' + \\ \quad + (\bar{a}_{214} \cdot \Psi_2 + \bar{a}_{215} \cdot \Psi_1 + \bar{a}_{216} \cdot \Psi_0) \bar{w} + (\bar{a}_{211} \cdot \Psi_2 + \bar{a}_{212} \cdot \Psi_1 + \bar{a}_{213} \cdot \Psi_0) \bar{w}' + \\ \quad + (\bar{a}_{210} \cdot \Psi_0) \bar{w}'' + (\bar{a}_{29} \cdot \Psi_0) \bar{w}''' \}, \\ \bar{w}^{IV} = \Psi_0^{-1} \{ (\bar{a}_{31} \cdot \Phi_1 + \bar{a}_{32} \cdot \Phi_0) \bar{u} + (\bar{a}_{33} \cdot X_0) \bar{v}' + \\ \quad + (\bar{a}_{311} \cdot \Psi_4 + \bar{a}_{312} \cdot \Psi_3 + \bar{a}_{313} \cdot \Psi_2 + \bar{a}_{314} \cdot \Psi_1 + \bar{a}_{315} \cdot \Psi_0 + \bar{a}_{316} \cdot \Psi_0) \bar{w} + \\ \quad + (\bar{a}_{38} \cdot \Psi_2 + \bar{a}_{39} \cdot \Psi_1 + \bar{a}_{310} \cdot \Psi_0) \bar{w}' + \\ \quad + (\bar{a}_{35} \cdot \Psi_2 + \bar{a}_{36} \cdot \Psi_1 + \bar{a}_{37} \cdot \Psi_0) \bar{w}'' + (\bar{a}_{34} \cdot \Psi_0) \bar{w}''' \}, \end{array} \right. \quad (8)$$

где  $u_i^{(k)} = u_i^{(k)}(\theta, \xi_i)$ ,  $v_i^{(k)} = v_i^{(k)}(\theta, \xi_i)$ ,  $w_i^{(l)} = w_i^{(l)}(\theta, \xi_i)$ ,  $k = 0, 1$ ,  $l = 0, \dots, 3$ ,  $i = 0, \dots, N$ .

Полученную систему (8) обыкновенных дифференциальных уравнений можно привести к нормальному виду:

$$\frac{d\bar{Y}}{d\theta} = A(\theta, \omega) \bar{Y} \quad (0 \leq \theta \leq b), \quad (9)$$

где

$$\bar{Y}^T = \{ u_0, \dots, u_N, u_0', \dots, u_N', v_0, \dots, v_N, v_0', \dots, v_N', w_0, \dots, w_N, w_0', \dots, w_N', \\ w_0'', \dots, w_N'', w_0''', \dots, w_N''' \},$$

$A(\theta, \omega)$  — квадратная матрица порядка  $8(N+1) \times 8(N+1)$ .

Граничные условия (5), (6) для системы (9) можно записать в виде

$$B_1 \bar{Y}(0) = \bar{0}, \quad B_2 \bar{Y}(b) = \bar{0}. \quad (10)$$

Задача на собственные значения для системы обыкновенных дифференциальных уравнений (9) с граничными условиями (10) решалась методом дискретной ортогонализации в сочетании с методом пошагового поиска [1, 8].

**Решение задачи. Анализ результатов.** Упругие характеристики материала исследуемых оболочек таковы:  $E = 1 \cdot 10^{-6}$  Па,  $\nu = 0,3$ ,  $\rho = 1$  кг/м<sup>3</sup>.

Расчеты, проведенные по методу сплайн-коллокации при разном количестве точек коллокации, практически совпадают ( $N = 10$ ,  $N = 12$ ,  $N = 14$ ). Данные расчетов приведены для  $N = 12$ .

Для всех исследуемых панелей угол раствора  $b = \pi/2$ .

Проверка достоверности получаемых результатов осуществлялась путем сравнения частот цилиндрической оболочки ( $R = 0,1$  м,  $L = 0,4$  м,  $h_0 = 0,002$  м) с частотами близких к ней конических оболочек эквивалентной массы со следующими геометрическими параметрами:  $R_1 = 0,095$  м,  $R_2 = 0,105$  м,  $L = 0,4$  м,  $h_0 = 0,002$  м (будем обозначать такой вариант геометрических параметров —  $C$ );  $R_1 = 0,09$  м,  $R_2 = 0,11$  м,  $L = 0,4$  м,  $h_0 = 0,002$  м (будем обозначать такой вариант геометрических параметров —  $D$ ). Рассматривался случай

шарнирного опирания всех контуров. Для цилиндрической панели задача решалась путем аппроксимации функций перемещений двойными рядами Фурье [9]:

$$\begin{aligned}
 u &= \sum_i \sum_j A_{ij} \cos \frac{m\pi s}{L} \sin \frac{nq}{R} e^{i\omega t}, \\
 v &= \sum_i \sum_j B_{ij} \sin \frac{m\pi s}{L} \cos \frac{nq}{R} e^{i\omega t}, \\
 w &= \sum_i \sum_j C_{ij} \cos \frac{m\pi s}{L} \sin \frac{nq}{R} e^{i\omega t}.
 \end{aligned}
 \tag{11}$$

Решение этой системы осуществлялось методом пошагового поиска и сравнивалось с частотами, полученными методом сплайн-коллокации для данной панели и близкими к ней коническими оболочками. В табл. 1 приведены следующие результаты расчета собственных частот для указанных граничных условий: *A* — задача решалась для случая цилиндрической панели с помощью аналитического подхода (11); *B* — задача решалась для случая цилиндрической панели с помощью предложенной численной методики; *C*, *D* — задача решалась для случая конических оболочек, геометрические параметры которых близки к рассматриваемой цилиндрической панели.

На основании предлагаемой методики были исследованы конические изотропные оболочки, жестко закрепленные по всем контурам с переменной в окружном направлении толщиной со следующими геометрическими параметрами:  $R_1 = 0,05$  м,  $R_2 = 0,15$  м,  $L = 0,4$  м,  $b = \pi/2$  (оболочку данной геометрии обозначим КП1);  $R_1 = 0,0$  м,  $R_2 = 0,2$  м,  $L = 0,4$  м,  $b = \pi/2$  (оболочку данной геометрии обозначим КП2), где  $L$  — длина образующей;  $R_1$ ,  $R_2$  — радиусы торцевых поверхностей;  $b$  — угол раствора конической панели.

Толщина исследуемых оболочек изменялась по следующему закону:

$$h = h_0(1 + \alpha \cos \theta) \tag{12}$$

где  $-0,2 \leq \alpha \leq 0,2$ ;  $h_0$  — толщина оболочки постоянной толщины и эквивалентной массы (в расчетах  $h_0 = 0,002$  м). Результаты расчетов собственных частот указанных выше конических оболочек с соответствующими граничными условиями для различных значений параметра  $\alpha$  приведены в табл. 2.

На основании данных табл. 2 можно проследить характер различия значений собственных частот конических оболочек с переменной толщиной относительно оболочек с постоянной толщиной. Различие значений частот возрастает при увеличении параметра  $\alpha$  и на более высоких частотах.

Таблица 1

$\omega_i$	$\omega_i$ , Гц			
	<i>A</i>	<i>B</i>	<i>C</i>	<i>D</i>
$\omega_1$	1,010E-03	9,653E-04	9,614E-04	9,582E-04
$\omega_2$	1,201E-03	1,165E-03	1,155E-03	1,143E-03
$\omega_3$	1,663E-03	1,640E-03	1,640E-03	1,646E-03
$\omega_4$	2,161E-03	2,142E-03	2,116E-03	2,062E-03

Таблиця 2

Тип оболочки	$\omega_i$	$\alpha$				
		-0,2	-0,1	0	0,1	0,2
КП1	$\omega_1$	1,96E-03	2,03E-03	2,09E-03	2,16E-03	2,22E-03
	$\omega_2$	2,07E-03	2,18E-03	2,29E-03	2,39E-03	2,49E-03
	$\omega_3$	2,73E-03	2,87E-03	3,00E-03	3,12E-03	3,23E-03
	$\omega_4$	2,93E-03	3,07E-03	3,20E-03	3,34E-03	3,46E-03
КП2	$\omega_1$	1,77E-03	1,84E-03	1,92E-03	1,99E-03	2,06E-03
	$\omega_2$	1,86E-03	1,93E-03	2,00E-03	2,06E-03	2,11E-03
	$\omega_3$	2,37E-03	2,47E-03	2,57E-03	2,67E-03	2,77E-03
	$\omega_4$	2,65E-03	2,79E-03	2,91E-03	3,03E-03	3,13E-03

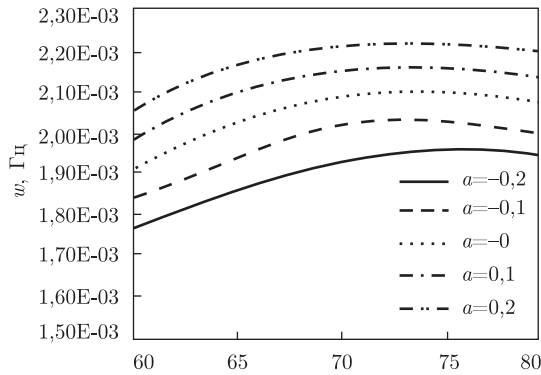


Рис. 1

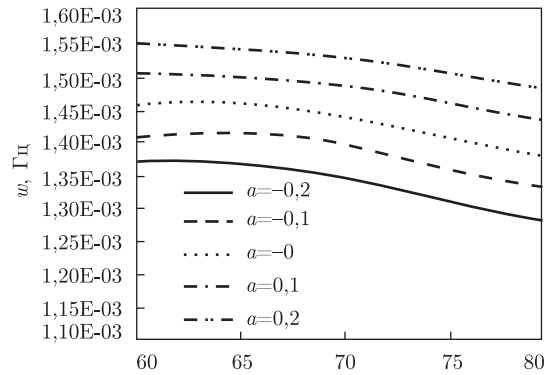


Рис. 2

На рис. 1 представлена зависимость значения первой частоты свободных колебаний оболочек эквивалентной массы от угла  $\varphi$  для различных значений параметра изменения толщины  $\alpha$  при условии жесткого закрепления всех контуров (5). Аналогичные данные для условий жесткой заделки трех контуров и шарнирного опирания одного (6) приведены на рис. 2. Длина образующей у исследованных конических оболочек сохранялась постоянной  $L = 0,4$  м, толщина менялась по закону (12),  $h_0 = 0,002$  м.

На основании данных, приведенных на рисунках, можно проследить характер изменения первой частоты для различных значений параметра изменения толщины в окружном направлении при увеличении угла конусности. Граничные условия также существенно влияют на динамические характеристики конических оболочек. При жестком закреплении всех контуров при увеличении угла  $\varphi$  (уменьшении угла конусности) возрастают значения первой частоты свободных колебаний. При условиях жесткой заделки трех контуров и шарнирного опирания одного (6) зависимость обратная. При этом за счет незначительных изменений в геометрии поверхности оболочек можно добиваться увеличения (уменьшения) значений частот свободных колебаний.

1. Григоренко Я. М., Мукоед А. П. Розв'язання лінійних і нелінійних задач теорії оболонок на ЕОМ. – Київ: Либідь, 1992. – 152 с.
2. Завьялов Ю. С., Квасов Ю. И., Мирошниченко В. Л. Методы сплайн-функций. – Москва: Наука, 1980. – 352 с.
3. Григоренко Я. М., Авраменко О. А. Исследование напряженно-деформированного состояния замкнутых нетонких ортотропных конических оболочек переменной толщины // Прикл. механика. – 2008. – 44, № 6. – С. 46–58.

4. Григоренко Я. М., Яремченко С. Н. Анализ влияния параметров ортотропии на перемещения и напряжения в нетонких цилиндрических оболочках с эллиптическим поперечным сечением // Там же. – 2007. – 43, № 6. – С. 82–92.
5. Григоренко А. Я., Яремченко Н. П. О напряженно-деформированном состоянии прямоугольных в плане пологих оболочек переменной толщины в уточненной постановке // Там же. – № 10. – С. 80–91.
6. Будаев В. Д., Григоренко А. Я., Пузырев С. В. Решение задачи о свободных колебаниях прямоугольных в плане пологих оболочек переменной толщины // Там же. – № 4. – С. 89–98.
7. Григоренко Я. М., Василенко А. Т. Методы расчета оболочек. Т. 4. Теория оболочек переменной жесткости. – Киев: Наук. думка, 1981. – 544 с.
8. Григоренко Я. М., Беспалова Е. И., Китайгородский А. Б., Шинкарь А. И. Свободные колебания элементов оболочечных конструкций. – Киев: Наук. думка, 1986. – 171 с.
9. Прочность. Устойчивость. Колебания. Справочник в 3-х томах / Под ред. И. А. Биргера, Я. Г. Пановко. – Москва: Машиностроение, 1968. – Т. 3. – 567 с.

Институт механики им. С. П. Тимошенко  
НАН Украины, Киев

Поступило в редакцию 05.08.2008

**A. Ya. Grigorenko, S. A. Maltsev**

### **Solving the problems on free vibrations of conical shells with variable thickness**

*The paper considers free vibrations of thin isotropic conical shells with variable thickness basing on the method of spline-approximation of unknown functions. Calculations were carried out for different types of boundary conditions. The influence of a variable thickness of shells on free vibrations is studied. Free vibrations of shells with constant and variable thicknesses are compared.*